

УДК 545.247.4

**ДИФРАКЦИОННЫЕ ОГРАНИЧЕНИЯ  
НА ПРЕДЕЛЬНОЕ ПРОСТРАНСТВЕННОЕ РАЗРЕШЕНИЕ  
И ДЛИННОВОЛНОВУЮ ГРАНИЦУ  
МОНОЛИТИЧЕСКИХ ИК ПРИЕМНИКОВ СО СЛАБЫМ ПОГЛОЩЕНИЕМ**

*A. B. Затовский, B. Г. Иванов, Э. Т. Роговская, Г. И. Салистра*

**Введение**

Развитие ИК техники ставит задачу создания многоэлементных ИК приемников в виде монолитных интегральных схем большой площади с высоким пространственным разрешением (ПР) оптических сигналов. Для дальней ИК области спектра такие приемники в основном создаются на базе легированных кремния и германия [1]. ПР сигналов при этом ограничено не только собственными шумами приемника и флуктуациями падающих на него фотонов [2, 3], но и волновыми свойствами регистрируемого матрицами излучения. С увеличением длины волны последнее должно приводить к дифракционным ограничениям на ПР ИК изображений, которые при определенных условиях могут играть определяющую роль.

В настоящей работе для одного из типов монолитных матричных ИК фотоприемников с координатной адресацией исследовано поле излучения в объеме матрицы и установлено предельное соотношение между плотностью ее фоточувствительных элементов и длиной волны, при котором возможно ПР. Приемники такого типа [4-6] представляют собой многослойную структуру, в которой на верхнее и нижнее основания легированной полупроводниковой пластины нанесены решетки адресных шин. При их поочередном включении в цепь образуется видеосигнал. Нижнее основание просветлено на нормально падающее излучение, и вся система крепится на прозрачное основание. Излучение, попадающее в пластину, генерирует неравновесные носители заряда, и их пространственное распределение регистрируется при опросе. Указанное распределение с точностью до известных констант определяется интенсивностью излучения в пластине. При равномерной засветке верхнего основания матрицы решетка адресных шин приводит к периодическому распределению излучения. При размере фоточувствительного элемента (щели решетки)  $d$  и периоде решетки  $l=2d$  предельное ПР достигается, если период указанного распределения равен  $l$  при определенной глубине модуляции.

Для плоской амплитудной решетки, лежащей на границе раздела диэлектрик—слабопоглощающий полупроводник, задача о дифракции коротковолнового излучения решена в [7]. Поле в полупроводнике представлено в виде набора дифракционных гармоник всех порядков, амплитуды которых при большом оптическом параметре  $kl$  ( $k=2\pi/\lambda$ ,  $\lambda$  — длина волны излучения) найдены в виде суммы приближения Кирхгофа для рассматриваемой задачи и поправок к нему. Для первой из этих поправок методом итераций получена асимптотическая оценка, которая неравномерна по  $kl$  вблизи точек  $kl=|n|$ , где  $n$  — номер гармоники. Из анализа указанной оценки следует, что при  $kl \gg 1$  поле в основном определяется гармониками с  $|n| < kl$ , поскольку последние не зату-

хают с удалением от решетки. В этом случае неравномерность обсуждаемой асимптотики несущественна, и она может быть использована для расчета поля излучения в полупроводнике и распределения интенсивности излучения в описанной выше матричной структуре конечной толщины. На этом основании в [8] было показано, что при  $kl \sim 100$  ПР приемников рассматриваемого типа близко к предельному. Положение изменяется при  $kl \geq 1$ . В этом случае распространяющихся гармоник с  $|n| < kl$  немного и основной вклад в поле дифракции вносят затухающие гармоники с  $|n| \geq kl$ , для которых полученная в [7] оценка непригодна.

В обсуждаемых приемниках при увеличении длины волны и уменьшении размеров фоточувствительных элементов  $kl$  принимает значения, которые значительно меньше рассмотренных в [8]. В настоящее время технологические возможности обработки поверхности полупроводников и их легирования позволяют создавать многослойные структуры рассматриваемого типа с  $kl$  вплоть до значений  $\sim 10$ . При этом период решетки соизмерим с длиной волны, и распределение дифрагированного излучения в полупроводниковой пластине определяет длинноволновую границу и предельную плотность элементов, при которых структура обладает ПР. В указанной области  $kl$  необходим учет поправки к приближению Кирхгофа, содержащей вклады всех дифракционных гармоник, в том числе и с  $|n| \geq kl$ .

В разделе 1 для дифракционной решетки на границе раздела диэлектрик–полупроводник получено аналитическое выражение для асимптотической оценки поправки к приближению Кирхгофа, которое равномерно пригодно при всех значениях  $kl$ . Приведены результаты численных расчетов распределения интенсивности поля излучения в полупроводнике. Определено минимальное значение  $(kl)_{\min}$ , при котором обсуждаемая поправка мала и принятое для дифрагированного поля приближение справедливо. В многослойной структуре предельное значение  $kl$ , при котором разрешение еще возможно, больше  $(kl)_{\min}$ . Связано это с многократными отражениями дифрагированного излучения на границах раздела сред с сильно различающимися показателями преломления, а также с тем, что нижнее основание структуры просветлено лишь для нулевой дифракционной гармоники. Таким образом, развитое приближение может использоваться при определении предельного значения  $kl$  для приемника. В разделе 2 найдено поле излучения в полупроводниковой пластине и численно рассчитано указанное  $kl$ . В заключение приведены выводы о дифракционных ограничениях на ПР и длинноволновую границу рассматриваемых приемников.

## 1. Равномерное асимптотическое разложение для поправки к приближению Кирхгофа

В [7] рассмотрено нормальное падение плоской монохроматической волны на дифракционную решетку, лежащую на границе раздела сред с диэлектрическими проницаемостями  $\epsilon_1$  и  $\epsilon_2 = \epsilon'_2 - i\epsilon''_2$  (рис. 1). Вектор электрической составляющей падающей волны направлен вдоль оси  $x$ . Дифрагированное поле во второй среде представлялось в виде

$$E_{2x} = \sum_{n=-\infty}^{\infty} B_n \exp \left( -ih_n^{(2)} z + i \frac{2\pi n}{l} y \right), \quad (1)$$

где

$$h_n^{(1, 2)} = \sqrt{k_{1, 2}^2 - (2\pi n/l)^2}, \quad k_{1, 2} = k \sqrt{\epsilon_{1, 2}}, \quad k = \omega/c.$$

Было показано, что для больших значений  $x_{1, 2} = k_{1, 2} l / 2\pi$  амплитуды дифракционных гармоник можно искать в виде

$$B_n = \frac{k}{h_n} \frac{\sin(n\theta)}{\pi n} + M_n, \quad (2)$$

где

$$h_n = \frac{1}{2} (h_n^{(1)} + h_n^{(2)}), \quad 0 = \frac{\pi d}{l}.$$

Первое слагаемое представляет собой приближение Кирхгофа в рассматриваемой задаче, а  $M_n$  — поправка к нему, асимптотическая оценка которой определяется следующим выражением:

$$M_n^{(1)} = \frac{h_0}{2\pi h_n} (\mu_n + \mu_{-n}), \quad (3)$$

$$\mu_n = \frac{1}{\sqrt{i\pi(x_2+n)}} \int_0^{\pi-\theta} du e^{i(x_2+n)(\pi-u)} \frac{d}{du} \int_{\pi-u}^{\pi} \frac{e^{-ix_2\lambda} f(\lambda) d\lambda}{\sqrt{i\pi - (\pi-u)}} \quad (4)$$

и

$$f(\lambda) = -k \sum_m \frac{\sin(m\theta)}{m\pi h_m} e^{inx_m \lambda}. \quad (5)$$

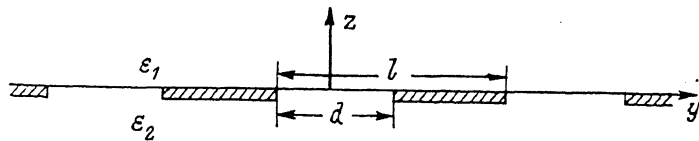


Рис. 1.

Для отыскания асимптотической оценки  $\mu_n$  при больших значениях  $|x_2|$  представим (4) в форме

$$\begin{aligned} \mu_n = & \frac{1}{\sqrt{i\pi(x_2+n)}} \left\{ e^{i(x_2+n)\theta} \int_0^\pi \frac{e^{-ix_2\lambda} f(\lambda) d\lambda}{\sqrt{\lambda-\theta}} + \right. \\ & \left. + i(x_2+n) \int_0^{\pi-u} du e^{i(x_2+n)(\pi-u)} \int_{\pi-u}^\pi \frac{e^{-ix_2\lambda} f(\lambda) d\lambda}{\sqrt{\lambda-(\pi-u)}}, \right. \end{aligned} \quad (6)$$

и воспользуемся найденными в [9] равномерными асимптотическими разложениями некоторых определенных интегралов. Для последнего из входящих в (6) интегралов найдем

$$\begin{aligned} \int_{\pi-u}^\pi \frac{e^{-ix_2\lambda} f(\lambda) d\lambda}{\sqrt{\lambda-(\pi-u)}} \approx & -2e^{-ix_2(\pi-u)} \frac{\Phi(\sqrt{i}x_2u)}{\sqrt{i}x_2} f(\pi-u) + \\ & + \frac{e^{-ix_2\pi}}{ix_2\sqrt{\pi}} [f(\pi) - f(\pi-u)] + O\left(\frac{e^{-ix_2\pi}}{x_2^2}\right). \end{aligned} \quad (7)$$

При этом учтена известная связь вырожденной гипергеометрической функции с интегралом вероятности  $\Phi$ . Подобным же образом

$$\int_0^\pi \frac{e^{-ix_2\lambda} f(\lambda) d\lambda}{\sqrt{\lambda-\theta}} \approx -\sqrt{\frac{2\pi}{ix_2}} e^{-i\theta x_2} \left\{ f(0) + O\left(\frac{1}{x_2}\right) \right\}. \quad (8)$$

Из (7), (8) для  $\mu_n$  найдем

$$\begin{aligned} \mu_n \approx & -i\sqrt{\frac{2}{x_2(x_2+n)}} \left\{ e^{inx_2} f(0) - \sqrt{2} \frac{n+x_2}{x_2} e^{inx_2} f(\pi) + \right. \\ & \left. + i(n+x_2) \int_0^\pi e^{inx_2} f(\lambda) d\lambda + O\left(\frac{1}{x_2}\right) \right\}. \end{aligned} \quad (9)$$

При исследовании асимптотики  $f(\lambda)$  учтем конечную проводимость полупроводника. Тогда в принятом приближении

$$f(\pi) = f(0) \approx 0 \quad (10)$$

и

$$\int_0^\pi e^{in\lambda} f(\lambda) d\lambda = \frac{e^{in\theta}}{i n (\kappa_2^2 - \kappa_1^2)} \left\{ \kappa_1 - \kappa_2 + \frac{\kappa_2^2 - n^2}{\kappa_2} A\left(\frac{n}{\kappa_2}\right) - \frac{\kappa_1^2 - n^2}{\kappa_1} A\left(\frac{n}{\kappa_1}\right) \right\}, \quad (11)$$

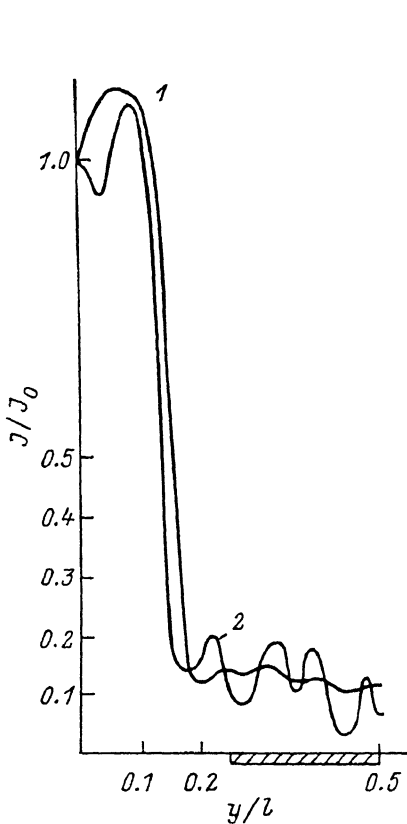


Рис. 2. Распределение интенсивности  $J/J_0$  дифрагированного излучения в полупроводнике ( $\epsilon_1=1$ ,  $\epsilon_2=16$ ) при  $kl=40$ .

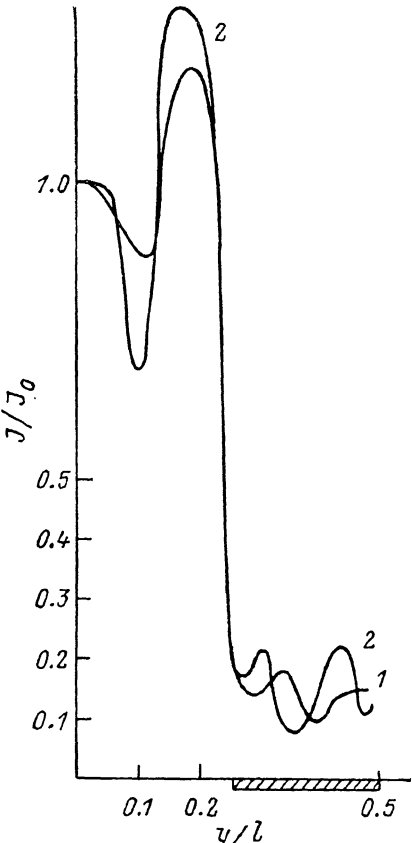


Рис. 3. Распределение интенсивности  $J/J_0$  дифрагированного излучения в полупроводнике ( $\epsilon_1=1$ ,  $\epsilon_2=16$ ) при  $kl=20$ .

где

$$A\left(\frac{n}{z}\right) = \begin{cases} \frac{2}{\pi} \frac{\arccos\left(\frac{n}{z}\right)}{\sqrt{1 - \frac{n^2}{z^2}}}, & |n| \leq z, \\ -\frac{2}{\pi} \frac{\ln\left[\frac{|n|}{z} - \sqrt{\frac{n^2}{z^2} - 1}\right] \operatorname{sgn}(n)}{\sqrt{\frac{n^2}{z^2} - 1}}, & |n| > z. \end{cases} \quad (12)$$

Подстановка (10), (11) в (9) приводит к асимптотической оценке  $\mu_n$ , которая равномерно пригодна при любых достаточно больших  $\kappa_{1,2}$ , в том числе и при  $\kappa_{1,2}$ , совпадающих с  $|n|$

$$\mu_n \approx \frac{\sqrt{2} k e^{in\theta}}{i n (\kappa_2^2 - \kappa_1^2)} \sqrt{1 + \frac{n}{\kappa_2}} \left[ \kappa_1 - \kappa_1 \left(1 - \frac{n^2}{\kappa_1^2}\right) A\left(\frac{n}{\kappa_1}\right) - \kappa_2 + \kappa_2 \left(1 - \frac{n^2}{\kappa_2^2}\right) A\left(\frac{n}{\kappa_2}\right) \right] + O\left(\frac{1}{\kappa_{1,2}^2}\right). \quad (13)$$

При  $|n| \gg z_1, z_2$  из последнего выражения следует

$$\mu_n \approx \frac{\sqrt{2} k \operatorname{sgn}(n)}{i(z_2^2 - z_1^2) \sqrt{|n|}} e^{in\theta} \left[ \frac{2}{\pi} \ln \frac{z_2}{z_1} - \frac{z_2 - z_1}{|n|} \right], \quad (14)$$

а при  $z_1, z_2 \gg |n|$

$$\mu_n \approx e^{in\theta} \frac{ink}{\sqrt{2} z_1 z_2 (z_1 + z_2)}. \quad (15)$$

Таким образом, поправка к приближению Кирхгофа при больших  $|n|$  убывает как  $1/z_1, z_2$ , а при  $|n| \ll z_1, z_2$  как  $1/z_1^2, z_2^2$ , и основной вклад в  $E_{2x}$  действительно вносят гармоники старших порядков. Поправка, следовательно, всегда мала, и найденное для нее выражение может применяться лишь для значений, при которых это условие выполняется.

Для амплитуд дифракционных гармоник из (2) и (13) в принятом приближении найдем

$$\begin{aligned} B_n = & \frac{k}{h_n} \left[ \frac{\sin(n\theta)}{\pi n} - \frac{1}{2\pi\sqrt{2}} \times \right. \\ & \times \left( \frac{e^{in\theta}}{in} \sqrt{1 + \frac{n}{z_2}} + \frac{e^{-in\theta}}{-in} \sqrt{1 - \frac{n}{z_2}} \right) \times \\ & \times \left\{ 1 + \frac{z_1}{z_2 - z_1} \left( 1 - \frac{n^2}{z_1^2} \right) \left[ A\left(\frac{n}{z_1}\right) + \right. \right. \\ & + A\left(-\frac{n}{z_1}\right) \left. \right] - \frac{z_2}{z_2 - z_1} \left( 1 - \frac{n^2}{z_2^2} \right) \times \\ & \times \left. \left[ A\left(\frac{n}{z_2}\right) + A\left(-\frac{n}{z_2}\right) \right] + O\left(\frac{1}{z_1^2, z_2^2}\right) \right\}. \end{aligned} \quad (16)$$

Полученный результат ниже используется для численных расчетов распределения интенсивности  $J$  дифрагированного поля в полупроводнике.

Нормированные на интенсивность в центре щели распределения  $J(y)/J_0$  при  $kl$ , равных 40, 20, 12, приведены на рис. 2—4. Кривые 1, 2 представляют соответственно интенсивности в приближении Кирхгофа и с учетом найденной к нему поправки. При уменьшении  $kl$  поправка к приближению Кирхгофа растет. Вплоть до  $kl \sim 12$  она не велика и приближение (16) применимо, при меньших  $kl$  условие применимости развитого для расчета дифракционного поля приближения нарушается. Таким образом,  $(kl)_{\min}$  может быть принято равным 12.

Как следует из приведенных результатов, с уменьшением  $kl$  контрастность выделения щелей решетки понижается. Однако и при  $(kl)_{\min}$  фоточувствительные элементы разрешаются с глубиной модуляции не менее 0.5. Поскольку дифрагированное поле формируется в основном гармониками старших порядков, для которых многослойная структура не просветлена, то область ее ПР при указанной глубине модуляции лежит при  $kl$ , которые могут быть значительно больше  $(kl)_{\min}$ .

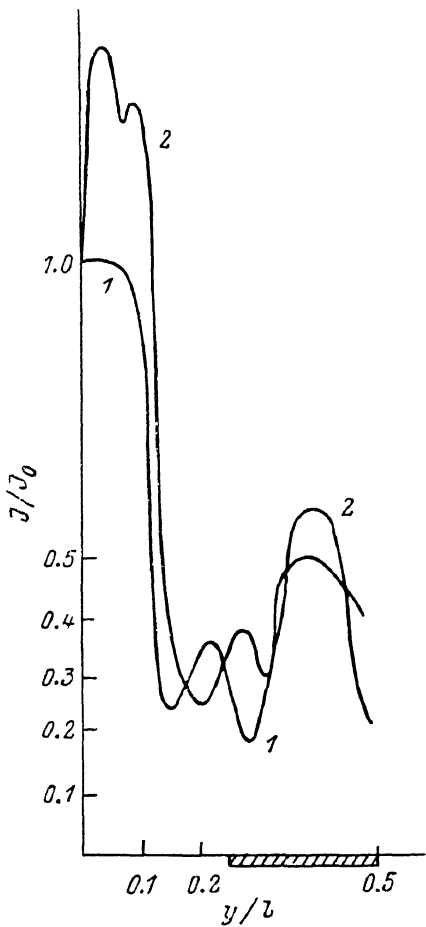


Рис. 4. Распределение интенсивности  $J/J_0$  дифрагированного излучения в полупроводнике ( $\epsilon_1=1$ ,  $\epsilon_2=16$ ) при  $kl=12$ .

## 2. Распределение интенсивности излучения в матричной структуре конечной толщины

Указанные соображения позволяют использовать приближение (16) при расчете предельного значения  $kl$  для приемника. Найдем поле излучения в легированной полупроводниковой пластине рассматриваемого приемника, который схематически представлен на рис. 5. Поля в средах 1—4 представим в виде

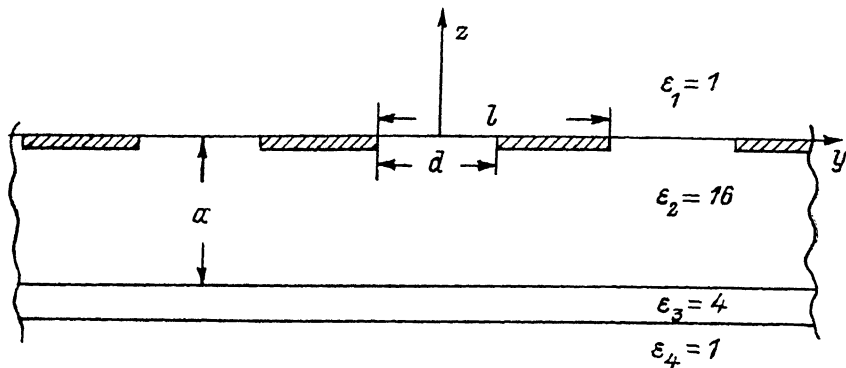


Рис. 5.

гированной полупроводниковой пластине рассматриваемого приемника, который схематически представлен на рис. 5. Поля в средах 1—4 представим в виде

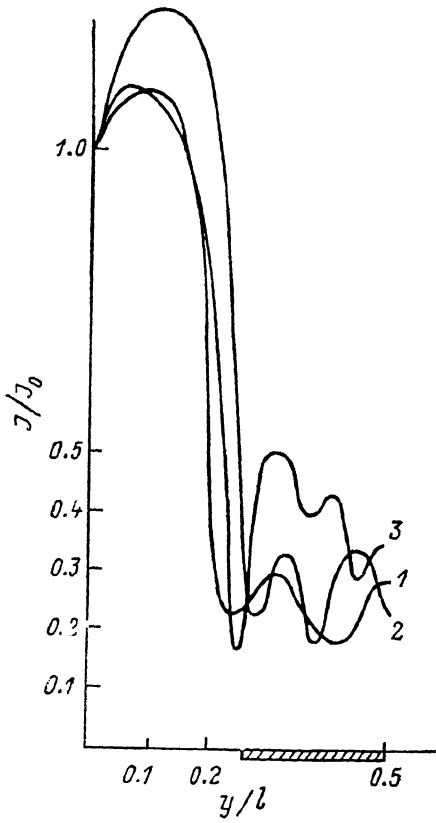


Рис. 6.

$$E_{1x} = e^{-ik_1 z} + \sum_{n=-\infty}^{\infty} A_n e^{i h_n^{(1)} z + i \alpha_n y},$$

$$E_{2x} = \sum_{n=-\infty}^{\infty} \{B_n e^{-i h_n^{(2)} z} + C_n e^{i h_n^{(2)} (z+a)}\} e^{i \alpha_n y},$$

$$E_{3x} = \sum_{n=-\infty}^{\infty} \{D_n e^{-i h_n^{(3)} z} + M_n e^{i h_n^{(3)} (z+a+\lambda/8)}\} e^{i \alpha_n y},$$

$$E_{4x} = \sum_{n=-\infty}^{\infty} N_n e^{i h_n^{(4)} z + i \alpha_n y},$$

$$E_{jy} = E_{jz} = 0, \quad (17)$$

где  $j$  — номер среды,  $\epsilon_j$  — ее диэлектрическая проницаемость,  $h_n^{(j)} = \sqrt{k_j^2 - \alpha_n^2}$ ,  $k_j = k \sqrt{\epsilon_j}$ ,  $\alpha_n = 2\pi n/l$ .

Из уравнений Maxwella найдем магнитные составляющие этих полей, из граничных условий на экранах, щелях и поверхностях раздела амплитудные коэффициенты в (17) выразим через  $B_n$ . В результате для поля в пластине конечной толщины найдем

$$E_{2x} = \sum_{n=-\infty}^{\infty} \frac{H_n}{h_n} B_n [e^{i h_n^{(2)} z} + e^{i h_n^{(2)} (a-z)} \Delta_n] e^{i \alpha_n y}, \quad (18)$$

где  $B_n$  определяется выражением (16) и

$$H_n = h_n^{(1)} (1 + e^{2\pi i h_n^{(2)} a} \Delta_n) + h_n^{(2)} (1 - e^{2\pi i h_n^{(2)} a} \Delta_n), \quad (19)$$

$$\Delta_n = \frac{(h_n^{(2)} - h_n^{(3)}) (h_n^{(3)} + h_n^{(4)}) + (h_n^{(3)} - h_n^{(4)}) (h_n^{(2)} + h_n^{(3)}) e^{2i h_n^{(3)} \lambda/8}}{(h_n^{(2)} + h_n^{(3)}) (h_n^{(3)} + h_n^{(4)}) + (h_n^{(3)} - h_n^{(4)}) (h_n^{(2)} - h_n^{(3)}) e^{2i h_n^{(3)} \lambda/8}}.$$

Последние выражения позволяют рассчитать распределение интенсивности излучения в слое заданной толщины  $a$  при различных значениях  $kl$ .

Результаты численных расчетов при  $a=6l$  и  $kl=40, 20, 17$  приведены на рис. 6. При уменьшении  $kl$  ПР ухудшается и при  $kl < 17$  для глубины модуляции 0.5 структура теряет ПР. Расчеты показывают также, что в отсутствие просветляющего слоя ПР нет ни при каких значениях  $kl$  из исследуемой области. Значение  $kl \sim 17$  (или  $d/\lambda \sim 1.3-1.4$ ) может быть принято в качестве предельного для приемников рассматриваемого типа. Несмотря на важную роль многочленных отражений в матричной структуре конечной толщины, предельное соотношение между  $d$  и  $\lambda$  здесь достаточно близко к определяемому из  $(kl)_{\min}$ .

## Выводы

Таким образом, для дальнейшей части ИК области спектра амплитудно-фазовые решетки, находящиеся на поверхностях приемников рассматриваемого типа, приводят к наибольшим по масштабам дифракционным ограничениям на их ПР. Для рассмотренной геометрии монолитного ИК приемника с заданной длиной волны предельный размер разрешаемого фоточувствительного элемента составляет  $1.3-1.4 \lambda$  при глубине модуляции 0.5. Такие приемники обладают высоким ПР. Аналогично ПР элемента размером  $d$  возможно в спектральном интервале с длинами волн, меньшими  $0.7 \lambda$ .

Неплоский характер волнового фронта, конечная апертура сигнала и отличный от нуля угол падения увеличивают предельный размер разрешаемого элемента по сравнению с указанным выше или смещают спектральную границу в коротковолновую область. Можно полагать, что и в этом случае рассматриваемые приемники обладают достаточно высоким ПР.

## Литература

- [1] *Scalar N. Progr. Quant. Electron.*, 1984, v. 9, N 3, p. 149-258.
- [2] Фотоприемники видимого и ИК диапазонов / Под ред. Р. Дж. Кийса. М.: Радио и связь, 1958. 328 с.
- [3] Ллойд Дж. Системы тепловидения. М.: Мир, 1978. 414 с.
- [4] Иванов В. Г., Маломуж Н. П., Салистра Г. И. Электронная техника. Сер. 4, 1980, № 6, с. 39-43.
- [5] Иванов В. Г., Маломуж Н. П., Салистра Г. И., Синицын Э. Ю. Электронная техника. Сер. 4, 1982, № 6, с. 22-25; там же, 1984, № 6, с. 25-30.
- [6] Humphreys R. G., Webber R. F., Holzman B. R. In: II Intern. Conf. on Advanced Infrared Detectors and Systems, 1983, p. 41-60.
- [7] Затовский А. В., Иванов В. Г. ЖТФ, 1978, т. 48, № 5, с. 884-888.
- [8] Затовский А. В., Иванов В. Г., Роговская Э. Т., Салистра Г. И. Письма в ЖТФ, 1981, т. 7, № 13, с. 773-776.
- [9] Зильбергейт А. С. ЖВММФ, 1976, т. 16, № 1, с. 40-47.

Одесский государственный  
университет им. И. И. Мечникова

Поступило в Редакцию  
21 июля 1987 г.  
В окончательной редакции  
28 апреля 1988 г.